

О БИФУРКАЦИИ ЧЕТЫРЕХ ТОРОВ ЛИУВИЛЛЯ В ОДНОЙ ОБОБЩЕННОЙ ИНТЕГРИРУЕМОЙ МОДЕЛИ ВИХРЕВОЙ ДИНАМИКИ

П. Е. Рябов^{1,2,3}

¹ Финансовый университет при Правительстве Российской Федерации

125993, Россия, г. Москва, Ленинградский проспект, д. 49

² Институт машиноведения РАН им. А. А. Благодирова

119334, Россия, г. Москва, ул. Бардина, д. 4

³ Удмуртский государственный университет

426034, Россия, г. Ижевск, ул. Университетская, д. 1

E-mail: PERyabov@fa.ru

1 Введение

Обобщенная математическая модель динамики двух точечных вихрей в бозе-эйнштейновском конденсате, заключенном в гармонической ловушке, и динамики двух точечных вихрей в идеальной жидкости, ограниченной круговой областью, описывается системой дифференциальных уравнений, которая может быть представлена в гамильтоновой форме

$$\Gamma_k \dot{x}_k = \frac{\partial H}{\partial y_k}(z_1, z_2); \quad \Gamma_k \dot{y}_k = -\frac{\partial H}{\partial x_k}(z_1, z_2), \quad k = 1, 2, \quad (1)$$

где гамильтониан H имеет вид:

$$H = \frac{1}{2} \left[\Gamma_1^2 \ln(1 - |z_1|^2) + \Gamma_2^2 \ln(1 - |z_2|^2) + \right. \\ \left. + \Gamma_1 \Gamma_2 \ln \left(\frac{[|z_1 - z_2|^2 + (1 - |z_1|^2)(1 - |z_2|^2)]^\varepsilon}{|z_1 - z_2|^{2(c+\varepsilon)}} \right) \right]. \quad (2)$$

Здесь через $z_k = x_k + iy_k$ обозначены декартовы координаты k -ого вихря ($k = 1, 2$) с интенсивностями Γ_k . Физический параметр “ c ” выражает собой меру вихревого взаимодействия, ε – параметр деформации, который характеризует два предельных

случая, а именно, при $\varepsilon = 0$ – модель двух точечных вихрей в бозе-эйнштейновском конденсате, заключенном в гармонической ловушке [1], [2], [3], а при $c = 0$, $\varepsilon = 1$ – модель двух точечных вихрей в идеальной жидкости, ограниченной круговой областью [4], [5], [6].

Фазовое пространство \mathcal{P} задается в виде прямого произведения двух открытых кругов радиуса 1 с выколотом множеством столкновений вихрей:

$$\mathcal{P} = \{(z_1, z_2) : |z_1| < 1, |z_2| < 1, z_1 \neq z_2\}.$$

Пуассонова структура на фазовом пространстве \mathcal{P} задается в стандартном виде

$$\{z_k, \bar{z}_j\} = -\frac{2i}{\Gamma_k} \delta_{kj}, \quad (3)$$

где δ_{kj} – символ Кронекера.

Система (1) допускает один дополнительный первый интеграл движения – *момент завихренности*:

$$F = \Gamma_1 |z_1|^2 + \Gamma_2 |z_2|^2.$$

Функция F вместе с гамильтонианом H образуют на \mathcal{P} полный инволютивный набор интегралов системы (1). Согласно теореме Лиувилля-Арнольда регулярная поверхность уровня первых интегралов вполне интегрируемой гамильтоновой системы представляет собой несвязное объединение торов, заполненных условно-периодическими траекториями. Определим *интегральное отображение* $\mathcal{F} : \mathcal{P} \rightarrow \mathbb{R}^2$, полагая $(f, h) = \mathcal{F}(\mathbf{x}) = (F(\mathbf{x}), H(\mathbf{x}))$. Обозначим через \mathcal{C} совокупность всех критических точек отображений момента, то есть точек, в которых $\text{rank } d\mathcal{F}(\mathbf{x}) < 2$. Множество критических значений $\Sigma = \mathcal{F}(\mathcal{C} \cap \mathcal{P})$ называется *бифуркационной диаграммой*.

В работах [7] и [8] при определенном значении параметра вихревого взаимодействия ($c = 1$) в случае интенсивностей противоположных и одинаковых знаков аналитически исследована бифуркационная диаграмма задачи о движении системы двух точечных вихрей в бозе-эйнштейновском конденсате. В [9] и [10] выполнена редукция к системе с одной степенью свободы и при отсутствии параметра деформации

($\varepsilon = 0$) для значениях физического параметра $c > 3$ обнаружена бифуркация трёх торов в один. Такая бифуркация оказалась неустойчивой и приведено её возмущённое слоение. Для другого предельного случая ($c = 0, \varepsilon = 1$) бифуркационный анализ динамики двух точечных вихрей в идеальной жидкости, ограниченной круговой областью, выполнен в [5] и [6]. Для указанных предельных случаев были получены совершенно различные бифуркационные диаграммы. А. В. Борисов предложил рассмотреть обе эти интегрируемые модели и выяснить, как связаны бифуркационные диаграммы обоих предельных случаев. В настоящей публикации в случае положительной вихревой пары ($\Gamma_1 = \Gamma_2 = 1$), представляющий интерес для физических экспериментальных приложений, для обобщенной математической модели, описываемой (1), (2), получена новая бифуркационная диаграмма, для которой указана бифуркация четырех торов в один. Наличие бифуркаций трех и четырех торов в интегрируемой модели динамики вихрей, имеющих положительные интенсивности, свидетельствует о сложном переходе и связи бифуркационных диаграмм обоих предельных случаев.

2 Бифуркационная диаграмма

В случае положительной вихревой пары ($\Gamma_1 = \Gamma_2 = 1$) определим полиномиальные выражения F_k от фазовых переменных

$$\begin{aligned}
 F_1 &= x_1 y_2 - y_1 x_2, \\
 F_2 &= [x_1(x_2^2 + y_2^2) - x_2] \left\{ (x_1^2 + x_2^2)(x_2^2 + y_2^2)[x_1(x_2^2 + y_2^2) - c x_2] + \right. \\
 &\quad \left. x_2[(c - 2)(x_2^2 + y_2^2)^2 x_1^2 + c x_2^2] \right\} + \\
 &\quad + \varepsilon(x_2^2 + y_2^2 - 1)(x_1^2(x_2^2 + y_2^2) - x_2^2)[(x_2^2 + y_2^2)(x_1^2 - x_1 x_2 + x_2^2) - x_2^2]
 \end{aligned}$$

и обозначим через \mathcal{N}_1 и \mathcal{N}_2 замыкания множеств решений следующих систем

$$x_1 + x_2 = 0, \quad y_1 + y_2 = 0 \tag{4}$$

и

$$F_1 = 0, \quad F_2 = 0. \quad (5)$$

Тогда справедлива теорема.

Теорема 1. *В случае положительной вихревой пары множество \mathcal{C} критических точек отображения момента \mathcal{F} совпадает с множеством решений систем (4) и (5). Множества \mathcal{N}_1 и \mathcal{N}_2 являются двумерными инвариантными подмногообразиями системы (1) с гамильтонианом (2).*

Для определения бифуркационной диаграммы Σ удобно перейти к полярным координатам:

$$x_1 = r_1 \cos \theta_1, \quad y_1 = r_1 \sin \theta_1, \quad x_2 = r_2 \cos \theta_2, \quad y_2 = r_2 \sin \theta_2. \quad (6)$$

Подстановка (6) в (4) и (5) приводит к системе

$$\left\{ \begin{array}{l} \theta_1 = \theta_2 + \pi; \\ \left[\begin{array}{l} r_1 = r_2; \\ (1 + r_1 r_2)[(r_1^2 + r_2^2)(r_1 r_2 + c) - (c - 2)r_1^2 r_2^2 - c] + \\ + \varepsilon(1 - r_1^2)(1 - r_2^2)(r_1^2 + r_1 r_2 + r_2^2 - 1) = 0. \end{array} \right. \end{array} \right.$$

Бифуркационная диаграмма Σ определена на плоскости $\mathbb{R}^2(f, h)$ и состоит из двух кривых γ_1 и γ_2 , где

$$\begin{aligned} \gamma_1 : h &= \ln\left(1 - \frac{f}{2}\right) - \frac{1}{2}(c + \varepsilon) \ln(2f) + \varepsilon \ln\left(1 + \frac{f}{2}\right), \quad 0 < f < 2; \\ \gamma_2 : \left\{ \begin{array}{l} h = \ln\left(x^\varepsilon \sqrt{x^2 - 1} z^{1-c}\right), \\ f = z^2 - 2xz + 2, \quad x \in (1; x_0]. \\ z = \frac{x[(\varepsilon + c)(x^2 - 1) + 1]}{(\varepsilon + 1)x^2 - \varepsilon}, \end{array} \right. \end{array} \quad (7)$$

Здесь через x_0 обозначен корень уравнения

$$(z - 2x)^2 = 4(x^2 - 1), \quad x > 1. \quad (8)$$

На рис. 1 и рис. 2 в случае положительной вихревой пары для значений параметров $\varepsilon = 28, c = 12$ приведена бифуркационная диаграмма и ее увеличенный фрагмент. Отметим, что кривая γ_2 имеет точки возврата A, B и точку касания C с кривой γ_1 для указанных значений параметров при

$$x_0 = \frac{\sqrt{570}}{1140} \sqrt{2312 + \sqrt[3]{2885048 - 294690\sqrt{6}} + \sqrt[3]{2885048 + 294690\sqrt{6}}} \approx 1,06678;$$

$$f_C = \frac{2}{57} \left[45 + \frac{\sqrt[3]{141^2}}{\sqrt[3]{45 + 19\sqrt{6}}} - \sqrt[3]{141(45 + 19\sqrt{6})} \right] \approx 0,9667958154;$$

$$h_C \approx -2,8066772742.$$

Указанная на рис. 2 а) точка касания C удовлетворяет (8).

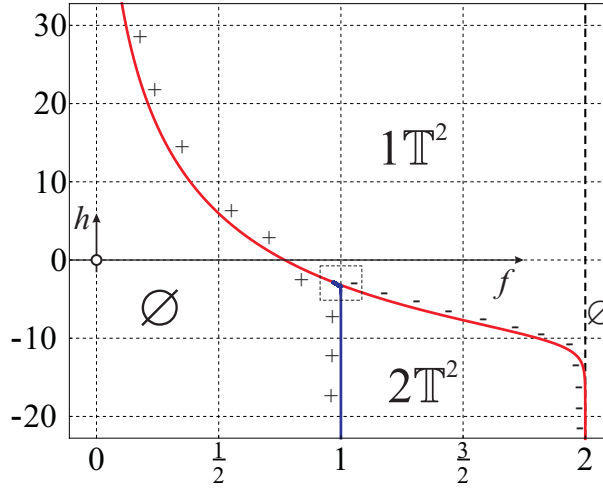


Рис. 1: Бифуркационная диаграмма Σ .

Знаки “+” и “-” соответствуют эллиптическим (устойчивым) и гиперболическим периодическим решениям в фазовом пространстве [11]. Как и следовало ожидать, смена типа происходит в точках возврата A и B , а также в точке касания C бифуркационной диаграммы Σ . Для наглядности, приведем явное выражение коэффициента C_F , который отвечает за тип (эллиптический/гиперболический) гладкой ветви кривой γ_1 :

$$\gamma_1 : C_F = (4 - c + 3\varepsilon)f^3 + 2(c + 4 - 7\varepsilon)f^2 + 4(c + 5\varepsilon)f - 8(c + \varepsilon), \quad 0 < f < 2.$$

При $C_F < 0$ получим точку типа “центр” (соответствующее периодическое решение имеет эллиптический тип, является устойчивым периодическим решением в фазовом

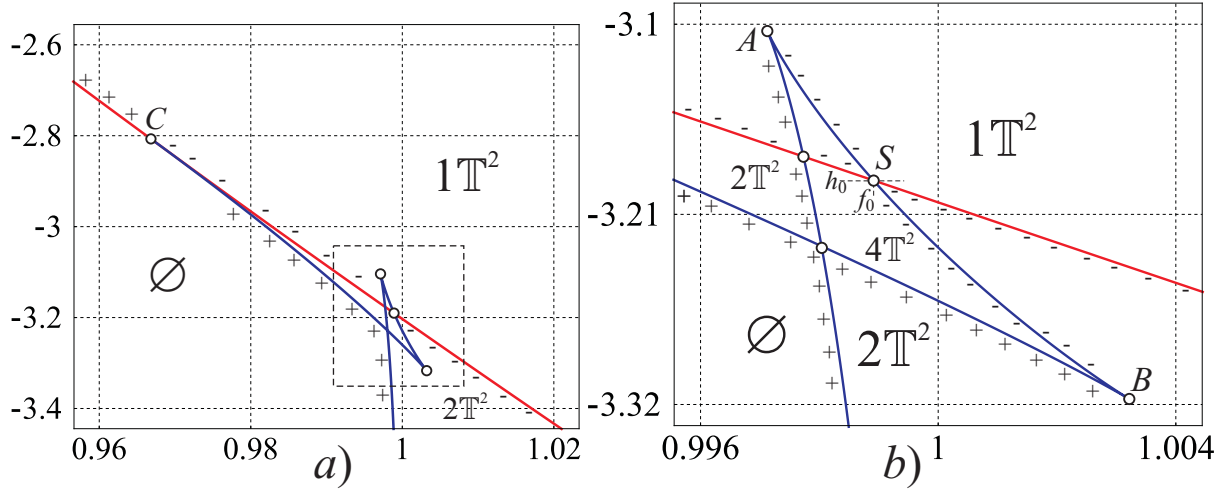


Рис. 2: Увеличенный фрагмент бифуркационной диаграммы.

пространстве, пределом концентрического семейства двумерных регулярных торов), а при $C_F > 0$ получим точку типа “седло” (соответствующее периодическое решение имеет гиперболический тип, существуют движения, асимптотические к этому решению, лежащие на двумерных сепаратрисных поверхностях).

3 О бифуркации четырех торов

Выполним явное приведение к системе с одной степенью свободы в случае положительной вихревой пары ($\Gamma_1 = \Gamma_2 = 1$) подобно тому, как это сделано в [9]. Для этого в системе (1) с гамильтонианом (2) перейдем от фазовых переменных (x_k, y_k) к новым переменным (u, v, α) по формулам:

$$x_1 = u \cos(\alpha) - v \sin(\alpha), \quad y_1 = u \sin(\alpha) + v \cos(\alpha),$$

$$x_2 = \sqrt{f - u^2 - v^2} \cos(\alpha), \quad y_2 = \sqrt{f - u^2 - v^2} \sin(\alpha).$$

Физические переменные (u, v) представляют собой декартовы координаты одного из вихрей в системе координат, связанной с другим вихрем, вращающейся вокруг центра завихренности. Обратная замена

$$U = \frac{x_1 x_2 + y_1 y_2}{\sqrt{x_2^2 + y_2^2}}, \quad V = \frac{y_1 x_2 - x_1 y_2}{\sqrt{x_2^2 + y_2^2}}$$

приводит к каноническим переменным относительно скобки (3):

$$\{U, V\} = -\{V, U\} = 1, \quad \{U, U\} = \{V, V\} = 0.$$

Система по отношению к новым переменным (u, v) является гамильтоновой

$$\dot{u} = \frac{\partial H_1}{\partial v}, \quad \dot{v} = -\frac{\partial H_1}{\partial u} \quad (9)$$

с гамильтонианом

$$H_1 = \frac{1}{2} \left\{ \ln[(1 - u^2 - v^2)(1 - f + u^2 + v^2)] - (c + \varepsilon) \ln(f - 2u\sqrt{f - u^2 - v^2}) + \varepsilon \ln[(1 - u\sqrt{f - u^2 - v^2})^2 + v^2(f - u^2 - v^2)] \right\}. \quad (10)$$

Угол поворота $\alpha(t)$ вращающейся системы координат удовлетворяет дифференциальному уравнению

$$\dot{\alpha} = \frac{1}{1 - f + u^2 + v^2} + c \frac{R_1(u, v)}{Q_1(u, v)} + \varepsilon \frac{R_2(u, v)}{Q_2(u, v)},$$

где

$$R_1(u, v) = f(u + \sqrt{f - u^2 - v^2}) - 2u[v^2 + u(u + \sqrt{f - u^2 - v^2})],$$

$$Q_1(u, v) = \sqrt{f - u^2 - v^2}[(f - 2u^2)^2 + 4u^2v^2],$$

$$R_2(u, v) = (1 - u^2 - v^2)[\sqrt{f - u^2 - v^2}(1 + u^2 + v^2) - u(1 + f - u^2 - v^2)],$$

$$Q_2 = \sqrt{f - u^2 - v^2} \left\{ (u^2 + v^2)f^2 - 2\sqrt{f - u^2 - v^2}(1 + u^2 + v^2)(1 + f - u^2 - v^2)u + f[1 - (u^2 + v^2)^2] + 4u^2(f - u^2 - v^2) \right\}$$

Неподвижные точки редуцированной системы (9) определяются критическими точками приведенного гамильтониана (10) и соответствуют относительным равновесиям вихрей в системе (1). Для фиксированного значения интеграла момента завихренности f регулярные уровни приведенного гамильтониана – компактны и движения происходят по замкнутым кривым. Можно показать, что критические значения приведенного гамильтониана определяют бифуркационную диаграмму (7). В точке S пересечения бифуркационных кривых γ_1 и γ_2 (рис. 2 б)), для которой

$x_S = 1,008383$; $f_0 = 0,9989101$; $h_0 = -3,1903429$, движение на плоскости (u, v) происходит по кривой, которая топологически устроена как $\mathbb{S}^1 \dot{\cup} \mathbb{S}^1 \dot{\cup} \mathbb{S}^1 \dot{\cup} \mathbb{S}^1$ (рис. 3 а), а интегральная критическая поверхность представляет собой тривиальное расслоение над \mathbb{S}^1 со слоем $\mathbb{S}^1 \dot{\cup} \mathbb{S}^1 \dot{\cup} \mathbb{S}^1 \dot{\cup} \mathbb{S}^1$.

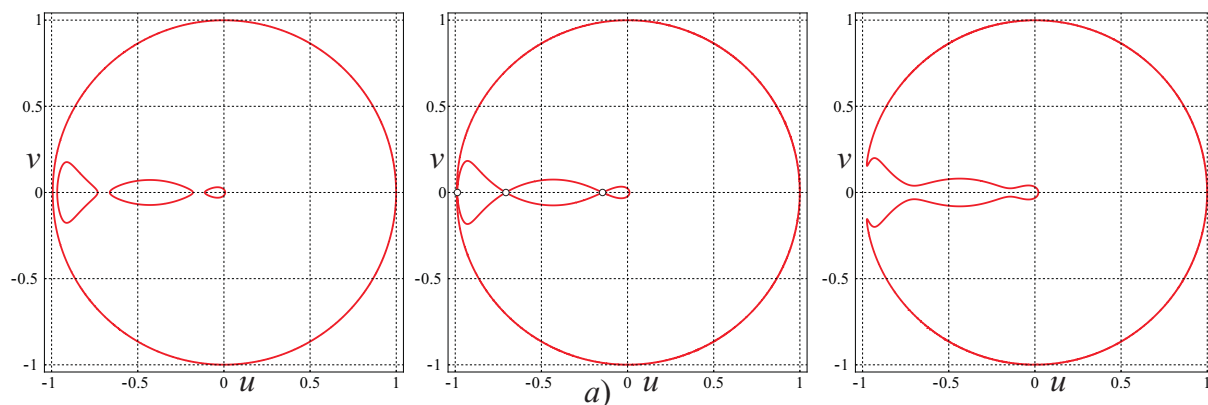


Рис. 3: Линии уровня приведенного гамильтониана H_1 вдоль прямой $h = h_0$.

При переходе через точку S бифуркационной диаграммы Σ вдоль прямой $h = h_0$ (рис. 2 б) реализуется бифуркация четырех торов в один $4\mathbb{T}^2 \rightarrow \mathbb{S}^1 \times (\mathbb{S}^1 \dot{\cup} \mathbb{S}^1 \dot{\cup} \mathbb{S}^1 \dot{\cup} \mathbb{S}^1) \rightarrow \mathbb{T}^2$. С помощью линий уровней приведенного гамильтониана (10) на рис. 3 наглядно продемонстрирована указанная бифуркация.

В заключении отметим, что аналитические результаты настоящей публикации (бифуркационная диаграмма (7), сведение к системе с одной степенью свободы (9), анализ устойчивости) в случае положительной вихревой пары ($\Gamma_1 = \Gamma_2 = 1$) составляют основу компьютерного моделирования абсолютной динамики вихрей в неподвижной системе координат, описываемой (1) и (2), в случае произвольных значений интенсивностей Γ_1, Γ_2 , физического параметра c и параметра деформации ε .

Автор выражает благодарность А. В. Борисову за постановку задачи. Работа выполнена при поддержке гранта РФФИ № 17-01-00846.

Список литературы

- [1] Torres, P. J., Kevrekidis, P. G., Frantzeskakis, D. J., Carretero-Gonzalez, R., Schmelcher, P. and Hall, D. S., Dynamics of vortex dipoles in confined Bose–Einstein condensates, *Phys. Lett. A.*, 2011, vol. 375, pp. 3044–3050.
- [2] Navarro, R., Carretero-González, R., Torres, P. J., Kevrekidis, P. G., Frantzeskakis, D. J., Ray, M. W., Altıntaş, E. and Hall, D. S., Dynamics of Few Co-rotating Vortices in Bose-Einstein Condensates, *Phys. Rev. Lett.*, 2013, vol. 110, no. 22, pp. 225301-1–6.
- [3] Koukouloyannis, V. and Voyatzis, G. and Kevrekidis, P. G., Dynamics of three noncorotating vortices in Bose–Einstein condensates, *Phys. Rev. E.*, 2014, vol. 89, no. 4, pp. 042905-1–14.
- [4] Greenhill, A. G., Plane vortex motion // *Quart. J. Pure Appl. Math.*, 1877/78, vol. 15, no. 58, pp. 10–27
- [5] Kilin, A. A., Borisov, A. V. and Mamaev, I. S., The Dynamics of Point Vortices Inside and Outside a Circular Domain, in *Basic and Applied Problems of the Theory of Vortices* Borisov, A. V. and Mamaev, I. S. and Sokolovskiy, M. A. (Eds.), Izhevsk: Regular and Chaotic Dynamics, Institute of Computer Science, 2003, pp. 414–440 (Russian).
- [6] Kilin, A. A., Borisov, A. V., Mamaev I. S., The Dynamics of Point Vortices Inside and Outside a Circular Domain, in *Mathematical methods of vortex structure dynamics* Borisov, A. V. and Mamaev, I. S. (Eds.) M.-Izhevsk: Regular and Chaotic Dynamics,, Institute of Computer Science, 2005, pp. 148–173 (Russian).
- [7] Sokolov, S. V. and Ryabov, P. E., Bifurcation Analysis of the Dynamics of Two Vortices in a Bose–Einstein Condensate. The Case of Intensities of Opposite Signs, *Regular and Chaotic Dynamics*, 2017, vol. 22, no. 8, pp. 979–998.

- [8] Sokolov, S. V. and Ryabov, P. E. Bifurcation Diagram of the Two Vortices in a Bose-Einstein Condensate with Intensities of the Same Signs, *Doklady Mathematics*, 2018, vol. 97, no. 3, pp. 1–5.
- [9] Ryabov, P. E., Bifurcations of Liouville Tori in a System of Two Vortices of Positive Intensity in a Bose–Einstein Condensate, *Doklady Mathematics*, 2019, (to appear).
- [10] Ryabov, P. E. and Sokolov, S. V., Phase Topology of Two Vortices of the Identical Intensities in Bose-Einstein Condensate, *Russian Journal of Nonlinear Dynamics*, 2019, (to appear).
- [11] Bolsinov, A. V., Borisov, A. V. and Mamaev, I. S., Topology and Stability of Integrable Systems, *Russian Math. Surveys*, 2010, vol. 65, no. 2, pp. 259–318; see also: *Uspekhi Mat. Nauk*, 2010, vol. 65, no. 2, pp. 71–132.